

ОДНОРОДНАЯ ВЫЧИСЛИТЕЛЬНАЯ СТРУКТУРА ИЗ МНОГОЗНАЧНЫХ  
ЯЧЕЕК, РЕАЛИЗУЮЩАЯ АЛГОРИТМЫ ПАРАЛЛЕЛЬНЫХ ПОДСТАНОВОК

С.В. Пискунов

I. Необходимость решать все более сложные задачи приводит к тому, что в вычислительных устройствах возрастает число элементов, увеличиваются функциональные возможности элементов, усложняются связи элементов друг с другом. В связи с достижением очень высокой степени интеграции (близкой к предельной) при создании БИС и большой роли межсоединений все большее внимание в вычислительной технике уделяется устройствам, построенным на основе многозначных схем. Применение таких схем существенно увеличивает информационную плотность на единицу площади и, из-за возможности использовать те же самые сигнальные цепи для передачи нескольких уровней информации, в несколько раз снижает количество внешних выводов [1-3]. Это направление удачно сочетается с построением однородных вычислительных структур [4,5].

Статья посвящена вопросам реализации однородной параллельной структуры, конструктивная сложность ячеек которой сопоставима со сложностью ячеек вычислительных сред, а функциональные возможности с функциональными возможностями микропроцессоров. Это достигается при помощи микропрограммного представления процесса переработки информации в каждой ячейке структуры, сочетания частотного и пространственного кодирования символов микрокоманд, записанных в многозначном алфавите, и использования принципов построения многоустойчивых элементов при реализации ячеек структуры.

Отметим, что структура относится к классу устройств с множественным потоком команд и множественным потоком данных в соответствии с классификацией в [6].

Основой для микропрограммного представления процесса переработки информации в предлагаемой структуре служит алгоритмическая система - алгоритмы параллельных (обобщенных) подстановок [7,8]. Она базируется на понятиях клеточного автомата [9] и нормального алгоритма [10]. Приведем ее краткое описание.

2. Алгоритмы параллельных подстановок. Пусть  $A$  - конечный алфавит,  $M$  - множество имен с мощностью не более чем счетной. Клеткой  $m$ , которая находится в состоянии  $a$ , называется пара  $(a, m) \in A \times M$ . В алгоритмах параллельных подстановок основным объектом преобразования является клеточное множество  $W$  - конечная совокупность клеток, в которой нет ни одной пары клеток с одинаковыми именами. Через  $K(A, M)$  обозначим множество всех клеточных множеств в  $(A, M)$ . Для любого конечного  $k$  запишем множество пар  $\{(a_1, \varphi_1(m)) \dots (a_k, \varphi_k(m))\}$ , где  $a_i \in A$ ,  $\varphi_i: M \rightarrow M$  такие, что для  $i \neq j$ ,  $i, j = 1, 2, \dots, k$  и  $\forall m \in M$ ,  $\varphi_i(m) \neq \varphi_j(m)$ . Упорядочим элементы  $m$ :  $\{m_1, m_2, \dots, m_l, \dots\}$ . Возьмем некоторое  $m_1 \in M$  и подставим вместо  $m$  во все функции  $\varphi_i$ ,  $i=1, 2, \dots, k$ , получим клеточное множество  $W_1 = \{(a_1, \varphi_1(m_1)) \dots (a_k, \varphi_k(m_1))\}$ . Прделаем эту процедуру для всех  $l = 1, 2, \dots, |M|$ .

Конфигурацией  $S$  в  $K(A, M)$  называется множество  $\{W_l\}_{l=1, 2, \dots, |M|}$ . Записывать конфигурацию будем как  $S = \{(a_1, \varphi_1(m)) \dots (a_k, \varphi_k(m))\}$ , а конкретный ее элемент  $W_l$  как  $S(m_l)$ .

Пусть даны две конфигурации  $S_1 = \{(a_1, \varphi_1(m)) \dots (a_{n_1}, \varphi_{n_1}(m))\}$  и  $S_2 = \{(b_1, \varphi_1(m)) \dots (b_{n_2}, \varphi_{n_2}(m))\}$ , такие что для  $\forall m \in M$ ,  $\forall i, j$ ,  $i = 1, \dots, n_1$ ,  $j = 1, \dots, n_2$ ,  $\varphi_i(m) \neq \varphi_j(m)$ . Тогда произведением  $S$  конфигураций  $S_1$  и  $S_2$  называется конфигурация вида  $\{(a_1, \varphi_1(m)) \dots (a_{n_1}, \varphi_{n_1}(m)), (b_1, \varphi_1(m)) \dots (b_{n_2}, \varphi_{n_2}(m))\}$ . Произведение  $S$  будем записывать как  $S_1 \cdot S_2$ .

Процесс переработки клеточного множества  $W \in K(A, M)$  заключается в применении к нему операций подстановок. Выражение вида  $S: S_1 \cdot S_2 \rightarrow S_3$ , где  $S_1, S_2, S_3$  - конфигурации,  $S_1 \cdot S_2 = S$  - произведение конфигураций, называется подстановкой. Величина  $S$  называется левой частью,  $S_1$  - базовой частью,  $S_2$  - контекстом,  $S_3$  - правой частью. Если существуют  $m_1, m_2, \dots, m_p \in M$  такие, что  $S(m_1), S(m_2), \dots, S(m_p) \in W$ , то подстановка считается применимой к  $W$  и результат применения подстановки есть клеточное

множество  $\{W \setminus \bigcup_{i=1}^p S_2(m_i)\} \cup \{\bigcup_{i=1}^p S_3(m_i)\}$ . Если таких имен не существует,  $\Pi$  неприменима к  $W$ .

Конечное множество  $\Phi$  подстановок, записанных в произвольном порядке, называется системой параллельных подстановок. Применение системы к  $W \in K(A, M)$  задается следующей итерационной процедурой. Пусть клеточное множество  $W^{i-1}$  - результат  $(i-1)$ -й итерации. Если ни одна из подстановок неприменима к  $W^{i-1}$ , то  $W^{i-1}$  является результатом применения  $\Phi$  к  $W$ . Если же какие-то подстановки алгоритма  $\Phi$  применимы (будем обозначать их символами  $\Pi^1, \Pi^2, \dots, \Pi^k$ ), то результатом применения  $\Phi$  к  $W^{i-1}$  является клеточное множество

$$W^i = \{W^{i-1} \setminus \bigcup_{j=1}^k (\bigcup_{i=1}^p S_2^j(m_i^j))\} \cup \{\bigcup_{j=1}^k (\bigcup_{i=1}^p S_3^j(m_i^j))\}.$$

Оно служит исходным для следующей итерации. Система  $\Phi$  вместе с такой процедурой применения называется алгоритмом параллельных подстановок.

**ПРИМЕР.** Алгоритм сложения многих двоичных чисел.  $A = \{0, 1\}$ ,  $M = N \times N$ , где  $N$  - натуральный ряд. Клеточное множество  $W$  - это двумерная бинарная таблица, клетки которой пронумерованы в соответствии с левой системой координат ( $i$  - абсцисса,  $j$  - ордината). В строках таблицы расположены двоичные слагаемые. Размеры таблицы определяются числом слагаемых и их разрядностью. Нижняя строка таблицы нулевая. Младшие разряды слагаемых записаны в столбце с  $i = 1$ . Для функции  $\phi(i, j)$  из  $M \rightarrow M$  вида  $(i, j) \rightarrow (i+a, j+b)$ , где  $a, b$  - некоторые целые константы, будем пользоваться сокращенной записью  $(i+a, j+b)$ . Введем функции  $(i, j), (i, j+1), (i, j-1), (i+1, j), (i+1, j-1)$ . Алгоритм содержит подстановки:

$$\Pi_1: \{(1, (i, j))(1, (i, j+1))(0, (i+1, j))\} \rightarrow \{(0, (i+1, j-1))(0, (i, j-1))\} \rightarrow \\ \rightarrow \{(0, (i, j))(0, (i, j+1))(1, (i+1, j))\};$$

$$\Pi_2: \{(1, (i, j))(0, (i, j+1))\} \rightarrow \{(0, (i, j-1))\} \rightarrow \{(0, (i, j))(1, (i, j+1))\}.$$

В этом примере клеточные множества и элементы конфигураций можно изображать графически. На рис. 1 показаны конфигурации подстановок  $\Pi_1$  и  $\Pi_2$  и один шаг применения алгоритма.

Для широкого класса алгоритмов (алгоритмов стационарных подстановок) [7] всегда возможно построение однородной сети конечных

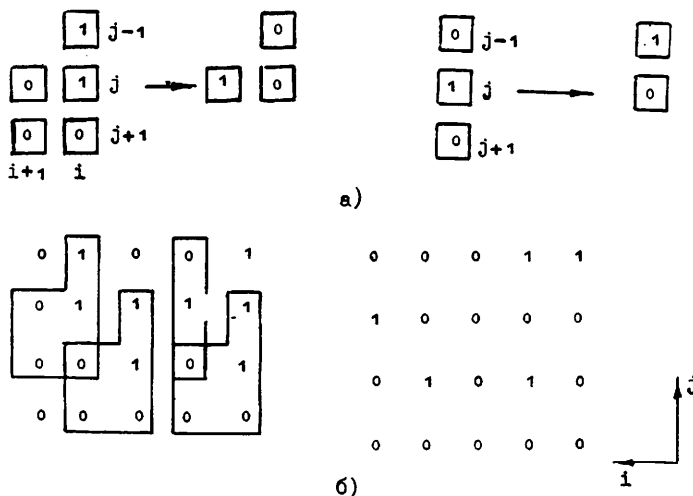


Рис. 1

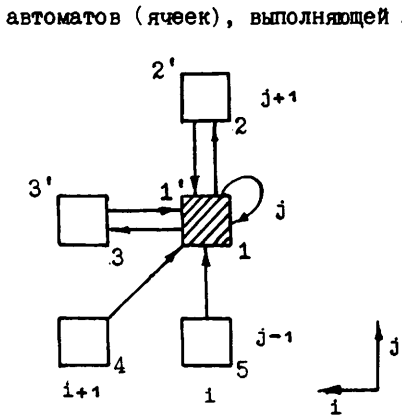


Рис. 2

автоматов (ячеек), выполняющей либо отдельный алгоритм, либо некоторую совокупность алгоритмов параллельных подстановок. Выбирая тот или иной способ реализации сети, можно получать конкретные устройства. Например, в [11] описано специализированное устройство, реализующее алгоритм сложения. Оно представляет собой матрицу из одинаковых ячеек, содержащих комбинационную схему и двоичный элемент памяти, хранящий разряд числа. Соединение ячеек друг с другом определяется функциями, используемыми в записи  $\Pi_1$  и  $\Pi_2$ , и показано на рис. 2.

Далее используется реализация ячейки сети в виде микропрограммного автомата. Для осуществления такой реализации необходимо выполнить три шага:

- 1) переход от алгоритма параллельных подстановок к микропрограмме;

- 2) кодирование микрокоманд;
- 3) вложение микропрограммы в ассоциативный блок ячейки.

В п.3 на примере рассматриваются эти шаги для видеоимпульсного кодирования информации и двоичных элементов памяти и логических схем. В последующих пунктах описывается новый подход к реализации второго и третьего шага, приводящий к цели, поставленной во введении.

3. Микропрограммная реализация ячеек однородной структуры. Ячейка однородного устройства состоит из ассоциативной матрицы, хранящей коды микрокоманд, коммутатора и элемента памяти, хранящего внутреннее состояние микропрограммного автомата.

Рассмотрим построение такой ячейки для приведенного выше примера алгоритма сложения многих чисел.

Первый шаг. Топология связей ячеек друг с другом соответствует рис. 2. По подстановкам  $\Pi_1$  и  $\Pi_2$  записываются две микрокоманды:

$$\begin{aligned} \Pi_1: & 11000 \rightarrow 001 \\ \Pi_2: & 10\cancel{0}0 \rightarrow 01 \_ \end{aligned}$$

Символы в левых частях микрокоманд упорядочены в соответствии с нумерацией без штриха (см. рис.2), указывающей те ячейки, от которых выделенная ячейка получает информацию. Символы в правых частях микрокоманд упорядочены в соответствии с нумерацией со штрихом (см.рис.2), указывающей те ячейки, в которые выделенная записывает информацию. Состояния элементов памяти ячеек, не участвующих в записи некоторой команды подстановки, заменяются в левой части соответствующей микрокоманды символом  $\blacksquare$  (маскирование), в правой - символом  $\_$  (пробел).

Второй шаг. Примем следующий вариант кодировки микрокоманд. Микрокоманде  $\Pi_1$  сопоставляется код, содержащий две строки:

11000	001
-------	-----

 - код собственно микрокоманды и 

00000	111
-------	-----

 - код

маски. Для получения кода микрокоманды  $\Pi_2$  производится доопределение (произвольное) разрядов, содержащих  $\blacksquare$  и  $\_$ , в первой строке. Код, например, может состоять из строк: 

10100	010
-------	-----

, 

00110	110
-------	-----

.

Третий шаг. Ассоциативная матрица не содержит принципиальных отличий от устройств, описанных в [12]. Для рассматриваемого примера она содержит две строки. Каждая строка состоит из двух час -

тей: левой – для хранения кода левой части микрокоманды и правой – для хранения кода правой части микрокоманды. Каждый разряд ассоциативной матрицы содержит два элемента памяти: один – для хранения символа кода собственно микрокоманды, другой – символа кода маски. Код опроса образуют текущие внутренние состояния ячеек, упорядоченные в соответствии с нумерацией без штриха на рис.2. В ассоциативной матрице обеспечивается сравнение соответствующих разрядов кода опроса и кодов левых частей микрокоманд и операция ИЛИ над результатом сравнения и левой частью кода маски. Символы правой части микрокоманды, левая часть которой (с учетом кода маски) совпала с кодом опроса, через коммутатор в соответствии с нумерацией со штрихом записываются в элементы памяти ячеек. Разрешение записи обеспечивает символ  $\bar{1}$  в соответствующем разряде правой части кода маски.

При увеличении числа микрокоманд растет число строк в матрице, при увеличении разрядности микрокоманды – число элементов в строке матрицы. Это означает, что структурная сложность ячейки (а значит, и устройства в целом) пропорциональна числу микрокоманд в алгоритме. Избежать увеличения сложности устройства при росте числа микрокоманд позволяют использование многозначного структурного алфавита и сочетание частотного и пространственного кодирования символов микрокоманд в оптическом диапазоне частот сигналов.

4. К о д и р о в а н и е м и к р о п р о г р а м м ы. Пусть  $A = \{a_1, a_2, \dots, a_k\}$  – алфавит микрокоманд и  $\mathcal{A} = \{P_1, P_2, \dots, P_n\}$  – некоторый алгоритм параллельных подстановок. Сделаем равными длины левых частей всех микрокоманд, полученных из  $\mathcal{A}$ , при помощи символов  $\bar{1}$ . Аналогично поступим с правыми частями микрокоманд, используя символ  $\bar{1}$ . Запишем микрокоманды алгоритма в виде табл. I, в которой  $a_{ij} \in A \cup \bar{1}$ ,  $b_{im} \in A \cup \bar{1}$ ,  $i = 1, \dots, n$ ,  $j = 1, \dots, p$ ,  $m = 1, \dots, q$ .

Т а б л и ц а I

$P'_1$	$a_{11}$	$a_{12}$	...	$a_{1p}$	$b_{11}$	$b_{12}$	...	$b_{1q}$
...	...				...			
$P'_i$	$a_{i1}$	$a_{i2}$	...	$a_{ip}$	$b_{i1}$	$b_{i2}$	...	$b_{iq}$
...	...				...			
$P'_n$	$a_{n1}$	$a_{n2}$	...	$a_{np}$	$b_{n1}$	$b_{n2}$	...	$b_{nq}$

Каждому символу  $a_i \in A$  поставим во взаимно-однозначное соответствие оптический сигнал с частотой  $\omega_i$  (параметр  $\omega_i$ ), символу  $\mathbb{E}$  - сигнал, являющийся суперпозицией сигналов с частотами  $\omega_1, \omega_2, \dots, \omega_k$  (обозначается как  $c_\omega$ ).

Левой части табл. I ставится в соответствие некоторый сигнал (оптический луч), поперечное сечение которого представляет собой множество прямоугольных участков, организованных в столбцы и строки. Число строк равно  $n$ , столбцов -  $p$ . Строки отделены одна от другой зонами, в которых сигнал отсутствует. Прямоугольник с координатами  $(i, j)$  соответствует символу  $a_{ij}$  и несет сигнал с частотой  $\omega_{ij}$ , если  $a_{ij} \in A$ , или сигнал  $c_\omega$ , если  $a_{ij} = \mathbb{E}$ .

Поставим во взаимно-однозначное соответствие каждому символу  $a_n \in A$  периодическую (с периодом  $\tau$ ) функцию  $m_n(t)$ .

Для кодирования правых частей микрокоманд каждому символу  $b_{im}$  ( $i = 1, \dots, n; m = 1, \dots, q$ ) ставится во взаимно-однозначное соответствие периодическая (с периодом  $T = q\tau$ ) функция:

$$M_{im}(t + (m-1)\tau) = \begin{cases} m_n(t), & \text{если } b_{im} = a_n \text{ и } (m-1)\tau \leq t \pmod{T} \leq m\tau, \\ 0, & \text{если } b_{im} = \perp \text{ или } (m-1)\tau > t \pmod{T}, \\ & \text{или } m\tau \leq t \pmod{T}. \end{cases}$$

Правой части микрокоманды  $\Pi'_i$  ставится в соответствие

$$M_i = \sum_{m=1}^q M_{im}(t + (m-1)\tau).$$

Чтобы получить в оптическом луче полную кодировку табл. I, амплитуда сигнала в каждом  $i$ -й строке поперечного сечения луча модулируется по закону  $M_i$ . Такое представление микропрограммы будем называть образом алгоритма.

Покажем, как свернуть представление табл. I в поперечном сечении луча, чтобы одна строка сечения представляла несколько микрокоманд подстановки.

Алгоритм  $\{\Pi'_1, \Pi'_2, \dots, \Pi'_n\}$  разбивается на несколько блоков (например, 1). Разбиение на блоки имеет вид:  $\Pi_1^1, \dots, \Pi_1^1, \Pi_1^2, \dots$

$\dots, \Pi_2^2, \Pi_1^3, \dots, \Pi_1^1, \dots, \Pi_1^1$ . Принадлежность блоку указывается

верхним индексом. Микрокоманды внутри каждого блока нумеруются числами  $1, 2, \dots, d_z$  ( $z = 1, \dots, l$ ). Максимальное  $d_z$  будем обозначать буквой  $d$ . Поперечное сечение луча содержит  $p$  столбцов и  $d$

строк. Всем подстановкам с номером  $j$ ,  $j = 1, \dots, d$ , из всех  $l$  блоков отводится одна строка из сечения луча. В этой строке  $i$ -й прямоугольник отводится для представления всех символов  $a_{ji}^1, a_{ji}^2, \dots, a_{ji}^l$  табл. 1. Осуществляется это заданием поля излучения в каждой точке прямоугольника в виде суперпозиции сигналов с частотами  $\Omega_1 + \omega_{j1}^1, \dots, \Omega_1 + \omega_{j1}^l$ . Параметры, характеризующие блоки и сим-

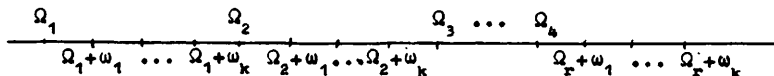
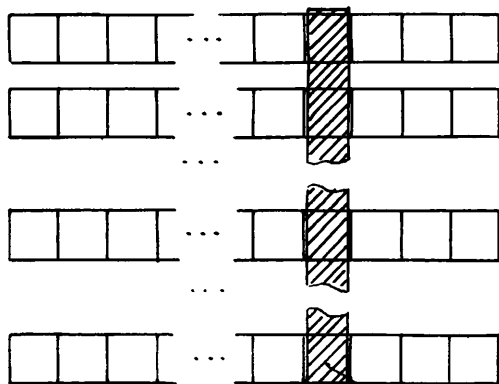


Рис. 3

волы алфавита, могут быть выбраны так, как показано на рис. 3. Так же, как и в первом случае, каждый из сигналов модулирован по закону, представляющему правую часть соответствующей микрокоманды.

5. Вложение микропрограммы в ассоциативный блок ячейки. Оптический образ алгоритма формируется в некотором блоке излучения (в принципе, одном для всей однородной структуры) при помощи источников света, имеющих необходимый набор частот, и электрически управляемых транспарантов, задающих двумерную структуру луча и соответствующую модуляцию. На каждую ячейку структуры образ алгоритма поступает из блока излучения, например, через мультипликатор.

Детальное описание блок-схемы ячейки приведено в [13]. Ячейка содержит ассоциативный блок, коммутатор и элемент памяти. В ассо-



Электрод фильтра

Рис. 4

циативном блоке можно выделить три подблока: перестраиваемый фильтр, устройство его перестройки и детектор. Фильтр представляет собой пластину сегнетоэлектрика с напыленными на нее  $p$  парами прозрачных электродов (перестраиваемый фильтр Жабри-Петро). На фильтр проектируется оптический образ алгоритма. Расположение электродов



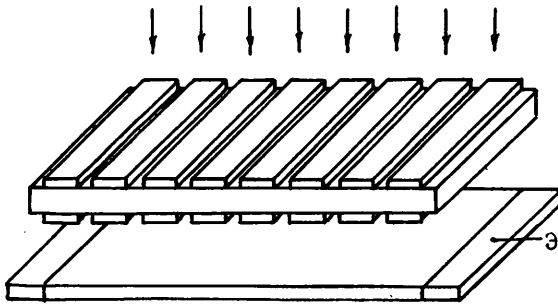


Рис. 5

по отношению к строкам сечения луча показано на рис.4. Электроды подключены к выходам устройства перестройки. Детектор — это поперечный фоторезистор. Взаимное расположение фильтра и детектора показано на рис. 5. Символом Э обозначены электроды фоторезистора.

Взаимодействие всех трех подблоков происходит следующим образом. Каждому символу  $a_1 \in A$  в устройстве перестройки сопоставляется напряжение  $u_1$ . Так же, как и в п.3, состояния элементов памяти ячеек-соседей образуют код опроса  $a_{1_1} a_{1_2} \dots a_{1_p}$  ( $a_{1_j} \in A$ ). Этому коду в устройстве перестройки сопоставляется вектор напряжений  $(u_{1_1}, u_{1_2}, \dots, u_{1_p})$ . Каждому номеру блока алгоритма  $i$  в устройстве перестройки сопоставляется напряжение  $U_i$ . Номер блока алгоритма может поступать на каждую ячейку из некоторого внешнего для однородной структуры устройства настройки. С учетом номера блока устройство перестройки вырабатывает вектор напряжений  $(U_i + u_{1_1}, U_i + u_{1_2}, \dots, U_i + u_{1_p})$ . Компоненты этого вектора поступают на соответствующие пары электродов. Напряжения  $U_i$  и  $u_j$  и частоты  $\Omega_i$  и  $\omega_j$  подобраны так, что если на  $k$ -й паре электродов присутствует напряжение  $U_i + u_j$ , то сигналы прямоугольников, несущие частоты  $\Omega_i + \omega_j$ ,  $k$ -го столбца сечения луча проходят через фильтр. Это значит, что если код опроса, представленный вектором напряжений, совпадает с кодом левой части некоторой микрокоманды  $\Pi'_i$ , представленным строкой прямоугольников сечения луча, то под фильтром на поверхности фоторезистора образуется светящаяся полоса, соединяющая его электроды.

**ЗАМЕЧАНИЕ.** В том случае, если на практике возникнут разрывы в прохождении сигналов поля излучения в промежутках между электродами фильтра, структура луча может быть откорректирована наложением на стыки соседних прямоугольников новых прямоугольников, не-

сущих сигнал с таким спектром, что этот сигнал проходит через фильтр независимо от потенциала на электродах.

Модуляция светящейся полосы по закону  $M_{\Pi_1}$  приводит к соответствующим изменениям потенциала в нагрузке фоторезистора. Эти изменения представляют код правой части микрокоманды и через коммутатор записываются в элементы памяти соседних ячеек. Такие черты ячейки, как наличие фильтра, управляемого по обратной связи, источник спектра, определяющий состояния ячейки, позволяют заключить, что она относится к классу частотно-гармонических элементов [14]. Принципиальным отличием использования источника спектра в рассматриваемом случае является то, что он несет алгоритм переработки информации однородной структурой. Важно также отметить "векторность" предложенной ячейки: она меняет не только свое состояние, но и состояния некоторых соседних ячеек, в свою очередь фильтр ячейки управляется сигналами не только от собственной памяти ячейки, но и от памяти некоторых соседних. Это делает ячейку типичным представителем класса ячеек однородных структур.

6. Вариант кодирования микропрограммы, снижающий требования к техническим параметрам ассоциативного блока ячейки. При частотном кодировании фильтр ячейки должен обладать способностью различать  $(1 \times k)$  частот. Это приводит к тому, что при увеличении числа символов в  $\Lambda$  ( $k$ ) и числа блоков ( $l$ ) число составляющих в спектре луча быстро растет, а значит, растут требования к качественным показателям блоков ячейки (особенно фильтра и фоторезистора). В связи с этим определенный интерес представляет вариант кодирования, в котором без увеличения числа параметров  $\Omega$ , сопоставляемых блокам, в одну строку сечения луча проектируется в несколько раз большее число команд, чем число блоков. В этом варианте используется пространственное кодирование подблоков, на которые дополнительно разбиваются блоки алгоритма. Содержательно этот вариант не сложнее варианта из п. 4, но более громоздок в изложении, поэтому рассмотрение проведем на примере, из которого будут ясны принципы построения кодирования.

Пусть  $\Lambda = \{0, 1\}$  и будем считать, что любое двоичное слово длины десять может быть левой частью микрокоманды подстановки. Будем обозначать левую часть буквой  $W$ . Всего возможных вариантов будет  $2^{10}$ . Разобьем это множество на четыре блока. Пусть  $W = a_{1_1} \dots a_{1_{10}}$ , тогда в блок I запишем все  $W$ , у которых  $a_{1_1} a_{1_2} =$

= 00, в блок II - все W, у которых  $a_{i_1} a_{i_2} = 0I$ , в блок III - все W, у которых  $a_{i_1} a_{i_2} = IO$ , в блок IV - все W, у которых  $a_{i_1} a_{i_2} = II$ . В свою очередь каждый блок разобьем на четыре подблока. В первый подблок включим W, у которых  $a_{i_3} a_{i_4} = 00$ , во второй - W, у которых  $a_{i_3} a_{i_4} = 0I$ , в третий - W, у которых  $a_{i_3} a_{i_4} = IO$ , в четвертый - W, у которых  $a_{i_3} a_{i_4} = II$ .

Сопоставим первому блоку параметр  $\Omega_1$ , второму -  $\Omega_2$ , третьему -  $\Omega_3$ , четвертому -  $\Omega_4$ . Первому подблоку первого блока поставим в соответствие набор параметров  $\emptyset \emptyset \emptyset \emptyset \Omega_1$ , второму -  $\emptyset \emptyset \emptyset \emptyset \Omega_2$ , третьему -  $\emptyset \emptyset \emptyset \emptyset \Omega_3$ , четвертому -  $\emptyset \emptyset \emptyset \emptyset \Omega_4$ . Наборы эти выбираются так, чтобы были они попарно-ортогональны. Аналогично делается сопоставление для подблоков i-го блока, только символ  $\Omega_1$  заменяется на  $\Omega_i$  ( $i = 2, 3, 4$ ). (Символ  $\emptyset$  означает пустой параметр.)

В одну строку поля излучения попадает шестнадцать подстановок. Начальные отрезки слов, образующих левые части W этих подстановок, имеют вид:

0000....	0I00....	I000....	II00....
000I....	0I0I....	I00I....	II0I....
00I0....	0IIO....	IOIO....	IIIO....
00II....	0III....	IOII....	IIII....

Таких групп для данного примера 64. Вместо точек в каждой группе ставится шестизрядный вектор из 0 и I, один и тот же для всей группы, так, чтобы по группам были разнесены все  $2^{10}$  векторов. Поставим в соответствие символу 0 параметр  $\omega_0$ , символу I - параметр  $\omega_1$ . Будем обозначать символом  $\omega_\delta$ , где  $\delta = 0, I$ , любой из параметров  $\omega_0, \omega_1$ .

Строка поля излучения имеет шесть прямоугольных участков. В каждом из них поле излучения задается суперпозицией сигналов с частотами, указанными в табл. 2. Параметр  $\omega_\delta$  в каждом столбце один и тот же, но в различных столбцах могут быть разными. Всего в поле излучения будет 64 строки, в каждой строке - 16 наборов. В каждой строке элемент вида  $\Omega_i + \omega_1$  ( $i = 1, 2, 3, 4$ ) и только он модулирован по закону, кодирующему правую часть соответствующей микрокоманды.

7. Использование многозначного структурного алфавита, пространственное и частотное кодирование информации позволяет построить однородные вычислительные устройства, структурная слож-

Т а б л и ц а 2

№	1	2	3	4	5	6
1	$w_6$	$w_6$	$w_6$	$w_6$	$w_6$	$\Omega_1 + w_6$
2	$w_6$	$w_6$	$w_6$	$w_6$	$\Omega_1 + w_6$	$w_6$
3	$w_6$	$w_6$	$\Omega_1 + w_6$	$\Omega_1 + w_6$	$w_6$	$w_6$
4	$\Omega_1 + w_6$	$\Omega_1 + w_6$	$w_6$	$w_6$	$w_6$	$w_6$
5	$w_6$	$w_6$	$w_6$	$w_6$	$w_6$	$\Omega_2 + w_6$
6	$w_6$	$w_6$	$w_6$	$w_6$	$\Omega_2 + w_6$	$w_6$
7	$w_6$	$w_6$	$\Omega_2 + w_6$	$\Omega_2 + w_6$	$w_6$	$w_6$
8	$\Omega_2 + w_6$	$\Omega_2 + w_6$	$w_6$	$w_6$	$w_6$	$w_6$
9	$w_6$	$w_6$	$w_6$	$w_6$	$w_6$	$\Omega_3 + w_6$
10	$w_6$	$w_6$	$w_6$	$w_6$	$\Omega_3 + w_6$	$w_6$
11	$w_6$	$w_6$	$\Omega_3 + w_6$	$\Omega_3 + w_6$	$w_6$	$w_6$
12	$\Omega_3 + w_6$	$\Omega_3 + w_6$	$w_6$	$w_6$	$w_6$	$w_6$
13	$w_6$	$w_6$	$w_6$	$w_6$	$w_6$	$\Omega_4 + w_6$
14	$w_6$	$w_6$	$w_6$	$w_6$	$\Omega_4 + w_6$	$w_6$
15	$w_6$	$w_6$	$\Omega_4 + w_6$	$\Omega_4 + w_6$	$w_6$	$w_6$
16	$\Omega_4 + w_6$	$\Omega_4 + w_6$	$w_6$	$w_6$	$w_6$	$w_6$

ность ячеек которых не зависит от числа микрокоманд в алгоритме. От этого числа зависят геометрические размеры некоторых блоков ячейки. Каждая ячейка структуры может осуществлять выбор и выполнение любой из сотен (в пределе тысяч) одновременно поданных на нее микрокоманд. Например, элемент, построенный для варианта кодирования из п.6, имеет фильтр с шестью парами электродов и числом состояний фильтра равным десяти. Этот элемент может осуществлять выбор и выполнение любой из 1024 микрокоманд.

## Л и т е р а т у р а

1. Электроника № 22, 1976, с. 3-4.
2. Электроника № 4, 1977, с. 95.

3. Реализация многозначных структур автоматики, под ред. Ракова М.А. - Киев: Наукова думка, 1976. - 350 с.
4. КМЕТЬ А.Б. О логических сетях из универсальных элементов. - В кн.: Многозначные машины и системы. Киев, 1976, с.51-66.
5. О многозначных логических сетях /Бобров А.Е., Кметь А.Б., Костянюк И.Ш., Раков М.А., Угоров Б.Н. Там же, с. 21-51.
6. ГОЛОВКИН В.А. Методы и средства параллельной обработки информации. - В кн.: Итоги науки и техники. Серия: Теория вероятностей. Математическая статистика. Теоретическая кибернетика. М. 1979, с. 85-171.
7. КОРНЕВ Ю.Н., ПИСКУНОВ С.В., СЕРГЕЕВ С.Н. Алгоритмы обобщенных подстановок и их интерпретация сетями автоматов и однородными машинами. - Изв. АН СССР. Тех. кибернетика, 1971, №6, с.131-142.
8. КОРНЕВ Ю.Н., ПИСКУНОВ С.В., СЕРГЕЕВ С.Н. Вопросы построения алгоритмов обобщенных подстановок с выделенным контекстом. - В кн.: Вычислительные системы. Вып. 47, Новосибирск, 1971, с.117-129.
9. YAMADA H., AMOROSO S., Tesselation Automata. - Information and Control. 1969, v.14, N 3, p. 299-317.
10. МАРКОВ А.А. Теория алгоритмов. Т.42. - М.: Изд. АН СССР, 1954. - 375 с. (Труды мат. ин-та АН ССР).
11. А.с. № 436350 (СССР). Двоичный накопительный сумматор /Ю.Н.Корнев, С.В.Пискунов, С.Н.Сергеев. - Оpubл. в Б.И., 1974, №26, с. 192.
12. ГУРЬЕВ А.Ю., МЕТРИК Л.М., ХАВКИН В.Е. Ассоциативные запоминающие устройства на полупроводниковых запоминающих элементах. - М.: ЦНИИЭлектроника, 1975. - 42 с. (Обзоры по электронной технике. Сер. 3 "Микроэлектроника", вып. 4 (322)).
13. А.с. № 664168 (СССР). Вычислительная однородная структура /Ю.Н.Корнев, С.В.Пискунов. - Оpubл. в Б.И., 1979, № 19, с. 134.
14. СИГОРСКИЙ В.П., СИТНИКОВ Л.С., УТЯКОВ Л.Л. Многоустойчивые элементы дискретной техники. - М.: Энергия, 1966. - 360 с.

Поступила в ред.-изд.отд.

16 июня 1981 года